

УДК 621.373 : 535

**ВЗАЙМОДЕЙСТВИЕ ОПТИЧЕСКОГО ИЗЛУЧЕНИЯ
С МАГНИТОСТАТИЧЕСКИМИ ВОЛНАМИ
В ФЕРРИТАХ-ГРАНАТАХ**

*A. A. Соломко, Ю. В. Придатченко, Ю. А. Гайдай,
В. И. Майстренко и В. И. Степанченко*

Исследовано влияние кристаллографической анизотропии на процессы модуляции при взаимодействии лазерного излучения с однородной прецессией намагниченности и магнитостатическими волнами в кубических ферритах-гранатах. Определены условия синхронизма при модуляции оптического излучения магнитостатическими волнами, а также поляризационные характеристики модулированных оптических полей.

Исследование взаимодействия лазерного излучения с однородной прецессией намагниченности и магнитостатическими волнами представляет интерес с точки зрения исследования спектра линейных и параметрических возбуждаемых колебаний [1–4]. Такие исследования, в частности, позволили определить амплитуду однородной прецессии намагниченности и магнитостатических волн, а также изменения постоянной составляющей намагниченности ΔM , величина которой определяет общее число возбуждаемых колебаний, в том числе и параметрических [5–8]. Эти же исследования позволили построить спектр резонансных магнитостатических мод, возбуждаемых в образцах иттриевых ферритов-гранатов конечных размеров с неоднородным внутренним магнитным полем [9]. В расчетах, которые были выполнены к настоящему времени, полагалось, что постоянная намагниченность M_0 ориентирована в направлении основной кристаллографической оси [001], а магнитостатическая волна распространяется или вдоль постоянной намагниченности, или нормально к ней [10, 11]. Однако экспериментальные исследования проводятся, когда постоянная намагниченность может быть ориентирована в произвольном направлении, а магнитостатическая волна распространяется под произвольным углом к постоянной намагниченности. В связи с этим в настоящей работе приведены результаты расчета взаимодействия лазерного излучения с однородной прецессией намагниченности и магнитостатическими волнами при произвольной ориентации постоянной намагниченности относительно кристаллографических осей кубических ферритов-гранатов. Определены поляризационные характеристики модулированного излучения, а также условия синхронизма для получения оптимальной модуляции, которые отличаются от известных ранее [11, 12].

**Укороченные уравнения для нормальных
и модулированных волн**

Для кубических ферритов-гранатов, намагниченных до насыщения внешним постоянным полем H_0 , в уравнениях Максвелла, описывающих распространение оптического излучения в таких кристаллах,

$$\nabla \times E = -\frac{1}{c} \frac{\partial B}{\partial t}, \quad \nabla \times H = \frac{1}{c} \frac{\partial D}{\partial t}, \quad (1)$$

$\mu=1$, $D_i=\epsilon_{ij}E_j$, где диэлектрическая проницаемость в системе координат, связанной с главными кристаллографическими осями [13],

$$\epsilon_{ij}^{(1)} = \epsilon_{ij}^{(0)}\delta_{ij} + j\alpha_{ijk}M_k + \beta_{ijk}M_iM_r. \quad (2)$$

Здесь $\epsilon_{ij}^{(0)}$ — диэлектрическая проницаемость в отсутствие постоянной намагниченности, α_{ijk} , β_{ijk} — линейный и квадратичный магнитооптические коэффициенты, отличные от нуля компоненты которых для кубических ферритов-гранатов определены в [14]. Если в таком кристалле в произвольном направлении, определяемом вектором рефракции ζ (рис. 1), распространяется оптическая волна, решение (1), позволяющее определить нормальные (собственные) волны, можно искать в виде

$$E(r, t) = \operatorname{Re}\{A(r) \exp[j(\omega t - kr)]\} = \operatorname{Re}\{A(r)\Psi\}, \quad (3)$$

Введем систему координат $(e_1, e_2, e_3 = \zeta)$, где вектор e_1 лежит в плоскости $x'_1x'_2$, постоянная намагниченность M_0 ориентирована в направлении x'_2 .

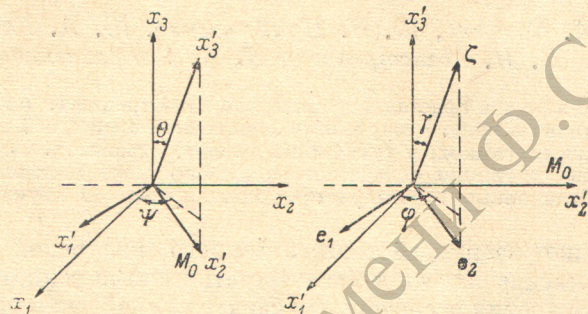


Рис. 1. Ориентация постоянной намагниченности и направления распространения оптического луча относительно основных кристаллографических осей кубических ферритов-гранатов.

Учитывая, что в отсутствие постоянной намагниченности кристалл является изотропным, а наведенная магнитооптическая анизотропия является малой, и воспользовавшись операцией $[\zeta[\zeta\dots]]$, которая любой вектор проектирует на плоскость, перпендикулярную ζ [13], получим укороченное уравнение

$$(\zeta\nabla) A(r) = j \frac{\omega^2}{2kc^2} [\zeta [\zeta \hat{\epsilon}^{(1)} A(r)]], \quad (4)$$

позволяющее определить нормальные волны при произвольным образом ориентированной постоянной намагниченности и произвольном направлении распространения оптической волны. В (4) компоненты тензора ϵ_{ij} в новой системе координат определяются с помощью известного преобразования $\epsilon_{ij} = \alpha_{ik}\alpha_{jl}\epsilon_{kl}$, где α_{ij} — направляющие косинусы новых ортов. Решение (4) имеет вид

$$E(r, t) = \sum_{j=1}^2 a_{j0} F_{j0} \exp[j(\omega t - kz)], \quad (5)$$

где обозначения следующие:

$$k_i = k_0 + \lambda_{i,2}^0, \quad \lambda_{i,2}^0 = \frac{\omega^2}{4kc^2} \{ (\epsilon_{11}^{(1)} + \epsilon_{22}^{(1)}) \pm [(\epsilon_{11}^{(1)} - \epsilon_{22}^{(1)})^2 + 4\epsilon_{12}^{(1)}\epsilon_{21}^{(1)}]^{1/2} \},$$

$$a_{10} = (1 + u_0^2 + v_0^2)^{-1/2} [e_1 + (u_0 - jv_0)e_2], \quad a_{20} = (1 + u_0^2 + v_0^2)^{-1/2} [-(u_0 + jv_0)e_1 + e_2],$$

$$F_{10} = (1 + u_0^2 + v_0^2)^{-1/2} [E_{x0} + (u_0 + jv_0)E_{y0}],$$

$$F_{20} = (1 + u_0^2 + v_0^2)^{-1/2} [-(u_0 - jv_0)E_{x0} + E_{y0}],$$

$$u_0 = 2 \operatorname{Re} \epsilon_{12}^{(1)} d_0^{-1}, \quad v_0 = 2 \operatorname{Im} \epsilon_{12}^{(1)} d_0, \quad d_0 = (\epsilon_{11}^{(1)} - \epsilon_{22}^{(1)}) + [(\epsilon_{11}^{(1)} - \epsilon_{22}^{(1)})^2 + 4\epsilon_{12}^{(1)}\epsilon_{21}^{(1)}]^{1/2}.$$

В случае, если в кристалле возбуждается однородная прецессия намагниченности или магнитостатическая волна, амплитуда которых удовлетво-

ряет условию $|m(r, t)| \ll |M_0|$, возникает добавка к диэлектрической проницаемости

$$\epsilon_{ij}^{(2)} = j\alpha_{ijk}m_k + \beta_{ijk}m_k M_r, \quad (6)$$

которая будет определять линейные явления, определяемые линейным и квадратичным магнитооптическими коэффициентами. Если осуществляется взаимодействие оптического излучения с бегущими магнитостатическими волнами, решение (1) необходимо искать в виде

$$E(r, t) = \operatorname{Re} \{A(r, t) \Psi\}.$$

Подставляя это решение в (1), получим укороченное уравнение для модулированных волн

$$(\zeta \nabla) A(r, t) + \frac{1}{v_{rp.}} \frac{\partial A(r, t)}{\partial t} = j \frac{\omega^2}{2kc^2} \{ [\zeta [\zeta \hat{\epsilon}^{(1)} A(r, t)]] + [\zeta [\zeta \hat{\epsilon}^{(2)} A(r, t)]] \}, \quad (7)$$

где для простоты мы положили, что оптическая и магнитостатическая волны распространяются в одном направлении. Решение (7) позволит определить оптимальные условия такого взаимодействия.

Модуляция света бегущей магнитостатической волной

При модуляции бегущей магнитостатической волной решение уравнения (7) ищем в виде

$$A(r, t) = a_{10} A_1 + a_{20} A_2, \quad (8)$$

где

$$A_i(r, t) = F_i(r, t) \exp(-j\lambda_i^0 z). \quad (9)$$

Подставляя (8) в (7), домножая скалярно на a_{10}^* и учитывая ортогональность комплексных векторов поляризации нормальных волн, получим

$$\frac{\partial F_i}{\partial z} + \frac{1}{v_{rp.}} \frac{\partial F_i}{\partial t} = j \frac{\omega^2}{2kc^2} \sum_{j=1}^2 a_{i0}^* \exp(j\lambda_i^0 z) \epsilon_{ij}^{(2)} a_{j0} F_j \exp(-j\lambda_i^0 z). \quad (10)$$

Учитывая (6), получаем связанные систему уравнений

$$\left. \begin{aligned} \frac{\partial F_1}{\partial z} + \frac{1}{v_{rp.}} \frac{\partial F_1}{\partial t} &= j \frac{\omega^2}{2kc^2} (1 + u_0^2 + v_0^2)^{-1} \{ [[\epsilon_{11}^{(2)} + (u_0 - jv_0) \epsilon_{12}^{(2)}] + \\ &+ (u_0 + jv_0) [\epsilon_{21}^{(2)} + (u_0 - jv_0) \epsilon_{22}^{(2)}]] F_1 + [[-(u_0 + jv_0) \epsilon_{11}^{(2)} + \epsilon_{12}^{(2)}] + \\ &+ (u_0 + jv_0) [-(u_0 + jv_0) \epsilon_{21}^{(2)} + \epsilon_{22}^{(2)}]] F_2 \exp(2j\sigma_0 z)], \\ \frac{\partial F_2}{\partial z} + \frac{1}{v_{rp.}} \frac{\partial F_2}{\partial t} &= j \frac{\omega^2}{2kc^2} (1 + u_0^2 + v_0^2)^{-1} \{ [-(u_0 - jv_0) [-\epsilon_{11}^{(2)} (u_0 + jv_0) + \epsilon_{12}^{(2)}] + \\ &+ [-\epsilon_{21}^{(2)} (u_0 + jv_0) + \epsilon_{22}^{(2)}]] F_2 + [(u_0 - jv_0) [\epsilon_{11}^{(2)} + (u_0 - jv_0) \epsilon_{12}^{(2)}] + \\ &+ [\epsilon_{21}^{(2)} + (u_0 - jv_0) \epsilon_{22}^{(2)}]] F_1 \exp(-2j\sigma_0 z)], \end{aligned} \right\} \quad (11)$$

где

$$\sigma_0 = \frac{\omega^2}{4kc^2} [(\epsilon_{11}^{(1)} - \epsilon_{22}^{(1)})^2 + 4\epsilon_{12}^{(1)}\epsilon_{21}^{(1)}]^{1/2}.$$

Решение (11) ищем в виде

$$F_i = F_i^{(0)} + F_i^{(1)}, \quad (12)$$

где $F_i^{(0)}$ определяется граничными условиями.

Используя замену $u = z - v_{rp.}t$, $v = z + v_{rp.}t$ и интегрируя (11), после несложных преобразований и перехода к переменным z , t решение будет иметь вид

$$\begin{aligned}
F_1^{(1)} &= j \frac{\omega^2}{4kc^2} (1 + u_0^2 + v_0^2)^{-1} z \left\{ \frac{\sin(\Delta_- z)}{\Delta_- z} [(a_{11} - a_{12}) \exp[j(\omega_s t - \Delta_+ z)] + \right. \\
&\quad + (a_{11} + a_{12}) \exp[-j(\omega_s t - \Delta_+ z)]] F_1^{(0)} + \left[(a_{13} - a_{14}) \frac{\sin(\sigma_0 + \Delta_-) z}{(\sigma_0 + \Delta_-) z} \times \right. \\
&\quad \times \exp[j(\sigma_0 + \Delta_-) z] \exp \left[j\omega_s \left(t - \frac{z}{v_{rp.}} \right) \right] + \left[(a_{13} + a_{14}) \frac{\sin(\sigma_0 - \Delta_-) z}{(\sigma_0 - \Delta_-) z} \times \right. \\
&\quad \times \exp[j(\sigma_0 - \Delta_-) z] \exp \left[-j\omega_s \left(t - \frac{z}{v_{rp.}} \right) \right]] F_2^{(0)} \Big\}, \\
F_2^{(1)} &= -j \frac{\omega^2}{4kc^2} (1 + u_0^2 + v_0^2)^{-1} z \left\{ \frac{\sin(\Delta_- z)}{\Delta_- z} [(a_{21} + a_{22}) \exp[j(\omega_s t - \Delta_+ z)] \times \right. \\
&\quad \times \exp[-j(\omega_s t - \Delta_+ z)] F_{20} + \left[(a_{23} - a_{24}) \frac{\sin(\sigma_0 + \Delta_-) z}{(\sigma_0 + \Delta_-) z} \exp[j(\sigma_0 + \Delta_-) z] \times \right. \\
&\quad \times \exp \left[-j\omega_s \left(t - \frac{z}{v_{rp.}} \right) \right] + (a_{23} + a_{24}) \frac{\sin(\sigma_0 - \Delta_-) z}{(\sigma_0 - \Delta_-) z} \exp[-j(\sigma_0 - \Delta_-) z] \times \\
&\quad \times \exp \left[j\omega_s \left(t - \frac{z}{v_{rp.}} \right) \right]] F_1^{(0)} \Big\},
\end{aligned} \tag{14}$$

где введены обозначения

$$\begin{aligned}
\varphi &= (\omega_s t - k_s r), \quad \Delta_{\pm} = \frac{1}{2} \left(\frac{\omega_s}{v_{rp.}} \pm k_s \right), \\
\varepsilon_{11}^{(2)} \pm (u_0 - jv_0) \varepsilon_{12}^{(2)} &+ (u_0 + jv_0) [\varepsilon_{11}^{(2)} + (u_0 - jv_0) \varepsilon_{22}^{(2)}] = a_{11} \cos \varphi - ja_{12} \sin \varphi, \\
-(u_0 + jv_0) \varepsilon_{11}^{(2)} + \varepsilon_{12}^{(2)} &+ (u_0 + jv_0) [-(u_0 + jv_0) \varepsilon_{21}^{(2)} + \varepsilon_{22}^{(2)}] = a_{13} \cos \varphi - ja_{14} \sin \varphi, \\
(u_0 - jv_0) [-(u_0 + jv_0) \varepsilon_{11}^{(2)} + \varepsilon_{12}^{(2)}] &+ (u_0 + jv_0) \varepsilon_{21}^{(2)} - \varepsilon_{22}^{(2)} = a_{21} \cos \varphi + ja_{22} \sin \varphi, \\
(u_0 - jv_0) [\varepsilon_{11}^{(2)} + (u_0 - jv_0) \varepsilon_{21}^{(2)}] - \varepsilon_{21}^{(2)} &- (u_0 - jv_0) \varepsilon_{22}^{(2)} = a_{23} \cos \varphi + ja_{24} \sin \varphi.
\end{aligned} \tag{14}$$

Полагая $M'_2 = M_0$; $m'_3 = m_0 \cos(\omega_s t - k_s r)$, $m'_1 = \eta m_0 \sin(\omega_s t - k_s r)$, где η — параметр, определяющий эллиптичность волны, проанализируем несколько частных случаев.

1. Пусть постоянная намагниченность M_0 ориентирована в плоскости (100) под углом β к оси [010]. Если свет распространяется в плоскости (100) под углом γ к оси x_3 , то в (14)

$$\begin{aligned}
\varepsilon_{11}^{(1)} &= \beta_{12} M_0^2, \\
\varepsilon_{22}^{(1)} &= \left[(\cos^4 \beta + \sin^4 \beta) (\beta_{11} \cos^2 \gamma + \beta_{12} \sin^2 \gamma) + \frac{1}{2} (\beta_{12} \cos^2 \gamma + \beta_{11} \sin^2 \gamma + \right. \\
&\quad \left. + 2\beta_{44} \cos 2\gamma) \sin^2 2\beta - \frac{1}{4} (\beta_{11} - \beta_{12} - 2\beta_{44}) \sin 4\beta \sin 2\gamma \right] M_0^2, \\
\varepsilon_{12}^{(1)} &= \varepsilon_{21}^{(1)*} = jaM_0 \sin \gamma, \\
\varepsilon_{11}^{(2)} &= 0, \\
\varepsilon_{22}^{(2)} &= \left\{ \frac{1}{4} (\beta_{11} - \beta_{12} - 4\beta_{44}) \sin 4\beta \cos 2\gamma - \left[\frac{1}{2} (\beta_{11} - \beta_{12}) \sin^2 2\beta + \right. \right. \\
&\quad \left. \left. + 2\beta_{44} \cos^2 2\beta \right] \sin 2\gamma \right\} m'_3 M_0, \\
\varepsilon_{12}^{(2)*} &= \varepsilon_{21}^{(2)} = (jam'_3 + 2\beta_{44} m'_1 M_0) \cos \gamma.
\end{aligned} \tag{15}$$

В этом случае в (14) $u_0 = 0$, $v_0 \neq 0$ и все $a_{ij} \neq 0$. Если $\beta = 0$ и свет распространяется нормально к постоянной намагниченности, мы получим известный результат, позволивший, в частности, проанализировать компоненты намагниченности m_0 , ΔM при возбуждении нестабильных колебаний [8].

Если свет распространяется в плоскости $x'_1 x'_3$ под углом γ к оси x'_3 , то

$$\left. \begin{aligned}
\varepsilon_{11}^{(1)} &= \left[(\sin^4 \beta + \cos^4 \beta) \beta_{11} + \frac{1}{2} (\beta_{11} + 2\beta_{44}) \sin^2 2\beta \right] M_0^2, \\
\varepsilon_{22}^{(1)} &= \left\{ \beta_{12} \cos^2 \gamma + \left[\beta_{12} (\sin^4 \beta + \cos^4 \beta) + \frac{1}{2} (\beta_{11} - 2\beta_{44}) \sin^2 2\beta \right] \right\} M_0^2, \\
\varepsilon_{12}^{(1)} &= \varepsilon_{21}^{(1)} = \frac{M_0^2}{4} (\beta_{11} - \beta_{12} - 2\beta_{44}) \sin 4\beta \sin \gamma, \\
\varepsilon_{11}^{(2)} &= \frac{1}{4} (\beta_{11} - \beta_{12} - 4\beta_{44}) m'_3 M_0 \sin 4\beta, \\
\varepsilon_{22}^{(2)} &= -\frac{1}{4} (\beta_{11} - \beta_{12} - 4\beta_{44}) m'_3 M_0 \sin 4\beta \sin^2 \gamma, \\
\varepsilon_{12}^{(2)} &= \varepsilon_{21}^{(2)*} = (-j\alpha m'_3 + 2\beta_{44} m'_1 M_0) \cos \gamma + \\
&+ \left\{ j\alpha m'_1 + \left[\frac{1}{2} (\beta_{11} - \beta_{12}) \sin^2 2\beta + 2\beta_{44} \cos^2 2\beta \right] m'_3 M_0 \right\}.
\end{aligned} \right\} \quad (16)$$

Здесь в (14) $v_0 = 0$, $u_0 \neq 0$ и при $\beta = 0$, $u_0 = 0$. Максимального значения u_0 достигает при $\beta = 22.5^\circ$.

2. Пусть постоянная намагниченность ориентирована в направлении оси [111]. Тогда для светового потока, распространяющегося в плоскости $x'_2 x'_3$ под углом γ к оси x'_3 ,

$$\left. \begin{aligned}
\varepsilon_{11}^{(1)} &= 0.34 (\beta_{11} + 2\beta_{12} - 2\beta_{44}) M_0^2, \\
\varepsilon_{22}^{(1)} &= 0.34 \left[(\beta_{11} + 2\beta_{12} + 4\beta_{44}) \cos^2 \gamma + \frac{1}{2} (\beta_{11} - 2\beta_{12} - 4\beta_{44}) \sin^2 \gamma \right] M_0^2, \\
\varepsilon_{12}^{(1)} &= \varepsilon_{21}^{(1)*} = j\alpha M_0 \sin \gamma, \\
\varepsilon_{11}^{(2)} &= 0.24 (\beta_{11} - \beta_{12} - 4\beta_{44}) m'_3 M_0, \\
\varepsilon_{22}^{(2)} &= (\beta_{11} - \beta_{12} + 4\beta_{44}) (0.34 \sin 2\gamma + 0.24 \sin^2 \gamma) m'_3 M_0, \\
\varepsilon_{12}^{(2)} &= \varepsilon_{21}^{(2)*} = j\alpha m'_3 \cos \gamma + [0.34 (\beta_{11} - \beta_{12} + 4\beta_{44}) \cos \gamma - \\
&- 0.24 (\beta_{11} - \beta_{12} - 4\beta_{44}) \sin \gamma] m'_1 M_0.
\end{aligned} \right\} \quad (17)$$

Здесь $u_0 = 0$, $v_0 \neq 0$ и для $\gamma = 0$, $v_0 = 0$.

Если свет распространяется в плоскости $x'_1 x'_3$ под углом γ к оси x'_3 , то в (14)

$$\left. \begin{aligned}
\varepsilon_{11}^{(1)} &= 0.34 (\beta_{11} + 2\beta_{12} + 4\beta_{44}) M_0^2, \\
\varepsilon_{22}^{(1)} &= 0.34 \left[(\beta_{11} + 2\beta_{12} - 2\beta_{44}) \cos^2 \gamma + \frac{1}{2} \sin^2 \gamma (\beta_{11} - 2\beta_{12} - 4\beta_{44}) \right] M_0^2, \\
\varepsilon_{12}^{(1)} &= \varepsilon_{21}^{(1)*} = 0, \\
\varepsilon_{11}^{(2)} &= 0, \\
\varepsilon_{22}^{(2)} &= 0.24 [(\beta_{11} - \beta_{12} - 4\beta_{44} \cos \gamma) m'_3 M_0 + (\beta_{11} - \beta_{12} - 4\beta_{44}) \sin 2\gamma m'_1 M_0], \\
\varepsilon_{12}^{(2)} &= \varepsilon_{21}^{(2)*} = [-j\alpha \cos \gamma + 0.34 (\beta_{11} - \beta_{12} + 2\beta_{44}) M_0 \sin \gamma] m'_3 + \\
&+ [j\alpha \sin \gamma + 0.34 (\beta_{11} - \beta_{12} + 2\beta_{44}) M_0 \sin \gamma] m'_1.
\end{aligned} \right\} \quad (18)$$

В этом случае при любых γ в (14) $u_0 = v_0 = 0$.

3. Пусть намагниченность ориентирована в плоскости (110) под углом $\pi/4$ к оси [001]. Если свет распространяется в плоскости $x'_2 x'_3$ под углом γ к оси x'_2 , то

$$\left. \begin{aligned}
\varepsilon_{11}^{(1)} &= 0.25 [(\beta_{11} + 3\beta_{12} + 2\beta_{44}) \cos^2 \gamma + (1.5\beta_{11} + 2.5\beta_{12} + 5\beta_{44}) \sin^2 \gamma] M_0^2, \\
\varepsilon_{22}^{(1)} &= 0.25 [1.5\beta_{11} + 2.5\beta_{12} - 3\beta_{44}] M_0^2, \\
\varepsilon_{12}^{(1)} &= \varepsilon_{21}^{(1)*} = j\alpha M_0 \cos \gamma + 0.125 (\beta_{11} - \beta_{12} - 2\beta_{44}) M_0^2 \sin \gamma, \\
\varepsilon_{11}^{(2)} &= 0.125 [(\beta_{11} + \beta_{12}) \sin^2 \gamma - 2 (\beta_{11} - \beta_{12} + 4\beta_{44}) \cos^2 \gamma] m'_3 M_0 - \\
&- 0.25 (\beta_{11} - \beta_{12} + 4\beta_{44}) m'_0 M_0 \sin 2\gamma, \\
\varepsilon_{22}^{(2)} &= 0.125 (\beta_{11} - \beta_{12}) m'_3 M_0, \\
\varepsilon_{12}^{(2)} &= \varepsilon_{21}^{(2)*} = [j\alpha \sin \gamma + 0.25 (\beta_{11} - \beta_{12} - 4\beta_{44}) M_0 \cos \gamma] m'_1 + \\
&+ 0.125 (3\beta_{11} - \beta_{12}) m'_3 M_0 \sin \gamma.
\end{aligned} \right\} \quad (19)$$

Здесь в отличие от рассмотренных выше случаев при произвольном значении γ $u_0 \neq 0$, $v_0 \neq 0$. Для $\gamma = 0$, $u_0 = 0$ и для $\gamma = \pi/2$ $v_0 = 0$. Если свет распространяется в плоскости $x'_1 x'_3$ под углом γ к оси x'_3 , то

$$\begin{aligned}
\varepsilon_{11}^{(1)} &= 0.25 (1.5\beta_{11} + 2.5\beta_{12} + 5\beta_{44}) M_0, \\
\varepsilon_{22}^{(1)} &= 0.25 [\beta_{11} (\cos^2 \gamma + 1.5 \sin^2 \gamma) + \beta_{12} (3 \cos^2 \gamma + 2.5 \sin \gamma) - \\
&\quad - \beta_{44} (2 \cos^2 \gamma + 3 \sin^2 \gamma)] M_0^2, \\
\varepsilon_{12}^{(1)} &= \varepsilon_{21}^{(1)*} = -0.125 M_0^2 (\beta_{11} - \beta_{12} - 2\beta_{44}) \sin \gamma, \\
\varepsilon_{11}^{(2)} &= 0.125 (\beta_{11} - \beta_{12}) m'_3 M_0, \\
\varepsilon_{22}^{(2)} &= 0.125 [(\beta_{11} - \beta_{12}) \sin \gamma - 2 (\beta_{11} - \beta_{12} + 4\beta_{44}) \cos^2 \gamma] m'_3 M_0 - \\
&\quad - 0.25 (\beta_{11} - \beta_{12} - 4\beta_{44}) \sin 2\gamma m'_1 M_0, \\
\varepsilon_{12}^{(2)} &= \varepsilon_{21}^{(2)*} = [j\alpha \cos \gamma - 0.125 (\beta_{11} - \beta_{12}) M_0 \sin \gamma] m'_3 - \\
&\quad - [j\alpha \sin \gamma + 0.125 (\beta_{11} - \beta_{12} + 4\beta_{44}) M_0 \cos \gamma] m'_1.
\end{aligned} \tag{20}$$

Здесь для произвольных значений γ , $u_0 \neq 0$, $v_0 = 0$. И для $\gamma = 0$, $u_0 = v_0 = 0$.

С использованием (15)–(20) можно легко проанализировать величины смещенных компонент в случае произвольной ориентации M_0 относительно кристаллографических осей. Например, для (15) и $\beta = 0$ $a_{12} = a_{22} = 0$, $a_{11} = v_0 (2\alpha \cos \gamma - 2v_0 \beta_{44} M_0 \sin 2\gamma) m_0 = am_0$, $a_{22} = (2av_0 \cos \gamma + 2\beta_{44} M_0 \sin 2\gamma) \times m_0 = bm_0$, $a_{13} \pm a_{14} = a_{23} \pm a_{24} = j\{\alpha(1 - v_0^2) \cos \gamma - 2\beta_{44}[v_0 \sin 2\gamma \mp (1 + v_0^2) \times \cos \gamma M_0\}] m_0 = jd_{\pm} m_0$ и результаты расчета представлены на рис. 2.

Полученные результаты позволяют сделать несколько выводов.

1. В модулированном излучении наблюдаются две смещенные компоненты различной интенсивности и фазовые задержки сигналов.

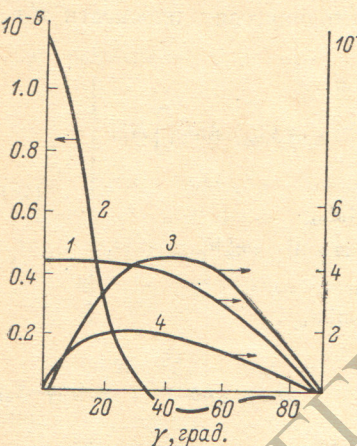


Рис. 2. Зависимость a , b , d_{\pm} от угла γ между направлением распространения и постоянной намагниченностью.

1 — d_- , 2 — d_+ , 3 — a , 4 — b .

2. Смещение по частоте наблюдается не только для компонент, поляризованных ортогонально падающей волне, но и для компонент, поляризованных, как и падающая волна.

3. При модуляции длинноволновыми магнитостатическими волнами и небольших длин кристаллов выполняется $k_s \approx 0$, $\Delta_s \approx 0$. Это соответствует случаю модуляции квазистационарным сигналом. При этом

$$\Delta_- = \Delta_+ \approx 0, \quad \frac{\sin(\Delta_- z)}{\Delta_- z} = 1, \quad \frac{\sin(\sigma_0 \pm \Delta_-) z}{(\sigma_0 \pm \Delta_-) z} = \frac{\sin(\sigma_0 z)}{\sigma_0 z},$$

и смещенные компоненты, поляризованные, как и падающая волна, линейно растут с расстоянием, а ортогонально поляризованные компоненты достигают максимальных значений после прохождения в кристалле расстояния $z = \frac{1}{2} \frac{\pi}{\sigma_0}$. Такая же ситуация будет наблюдаться при выполнении условия синхронизма $\Delta_- = 0$, т. е. $\omega_s - k_s v_{rp} = 0$.

4. При выполнении условия $\delta_0 = \Delta_-$ смещенные компоненты, поляризованные, как и падающая волна, периодически изменяются с расстоянием и для ортогонально поляризованных компонент после прохождения расстояния $z = \frac{1}{2} \frac{\pi}{\sigma_0}$ можно получить одну смещенную компоненту, амплитуда которой линейно растет с расстоянием. Аналогичная ситуация будет наблюдаться при выполнении условия $\delta_0 = -\Delta_-$. В отличие от результатов, полученных ранее [11], где рассматривался случай ориентации постоянной намагниченности M_0 вдоль основной кристаллографической оси и свет распространялся нормально к постоянной намагниченности, здесь δ_0 озна-

чает не двупреломление, а определяется комбинацией линейного и квадратичных магнитооптических коэффициентов, зависящей от ориентации намагниченности и направления распространения световой волны.

Литература

- [1] J. F. Dillon, J. N. Kamimura, J. P. Remeika. *J. Appl. Phys.*, **34**, 1240, 1963.
- [2] А. С. Боровик-Романов, В. Г. Жотиков, Н. И. Крейнес, А. А. Панков. *ЖЭТФ*, **70**, 1924, 1976.
- [3] В. Н. Веницкий, В. В. Еременко, Э. В. Матюшкин. *ЖЭТФ*, **72**, 1547, 1977.
- [4] А. А. Соломко, Ю. А. Гайдай, В. И. Майстренко. *ФТТ*, **19**, 1466, 1977.
- [5] И. А. Дерюгин, В. И. Мыкитюк, В. Н. Редчик, А. А. Соломко. *Письма ЖЭТФ*, **11**, 12, 1970.
- [6] Н. Le Gall, J. R. Jemet. Тр. междунар. конф. по магнетизму, МКМ-73, I (г), 20. «Наука», М., 1974.
- [7] А. С. Боровик-Романов, В. Г. Жотиков, Н. Н. Крейнес, А. А. Панков. *Письма ЖЭТФ*, **23**, 705, 1976.
- [8] Ю. А. Гайдай, А. А. Соломко, В. И. Майстренко. *ФТТ*, **18**, 2205, 1976.
- [9] А. А. Соломко, Ю. А. Гайдай, В. И. Майстренко. *Опт. и спектр.*, **44**, 761, 1978.
- [10] Н. Н. Кирюхин, Ф. В. Лисовский, Г. В. Скобелин. *Опт. и спектр.*, **39**, 735, 1975.
- [11] В. Д. Троилько. *Опт. и спектр.*, **41**, 607, 1976.
- [12] В. И. Жариков. *Нелинейная оптика*. Тр. II Всес. симп. по нелинейной оптике. «Наука», Новосибирск, 1968.
- [13] Ф. В. Лисовский. *Опт. и спектр.*, **34**, 947, 1973.
- [14] Р. В. Писарев, И. Г. Синий, Н. Н. Колпакова, Ю. Н. Яковлев. *ЖЭТФ*, **60**, 2188, 1971.
- [15] С. А. Ахманов, Р. В. Хохлов. *Проблемы нелинейной оптики. Итоги Науки*, М., 1964.

Поступило в Редакцию 9 января 1979 г.